

## Regional analysis of hydrological drought of Halil-Rood Watershed using base flow index

Maryam Daemi<sup>1</sup> | Amirreza Keshtkar<sup>1\*</sup>  | Saeed Bazgeer<sup>2</sup>  |  
Ali Afzali<sup>3</sup> | Omid Kavoosi<sup>1,4</sup> 

1. International Desert Research Center, University College of Agriculture and Natural Resources, University of Tehran, Karaj, Iran.
2. Department of Physical Geography, Faculty of Geography, University of Tehran, Tehran, Iran.
3. Vice-Chancellor for Research and Technology, University of Tehran, Tehran, Iran
4. Crisis Management Directorate, Alborz Governorate, Karaj, Iran

Email: [keshtkar@ut.ac.ir](mailto:keshtkar@ut.ac.ir)

---

### Article Info

### Abstract

---

**Article type:**  
Research Article

**Article history:**  
Received: 25 Jan. 2024  
Revised: 15 Mar. 2024  
Accepted: 14 Apr. 2024  
Published online: 21 Dec. 2024

**Keywords:**  
*Flow regime,*  
*Threshold level method,*  
*Cluster analysis,*  
*Drought zoning.*

The occurrence of drought is one of the natural phenomena and an inseparable part of climate change and natural hazards that can occur anywhere. Hydrological drought is used to indicate the reduction of surface flows and the drop in the levels of underground water reservoirs, lakes, and rivers. The present research was conducted to determine the values of the base flow index and to assess its effectiveness in identifying the type of flow regime and conducting a regional analysis of hydrological drought in the Halil-Rood watershed. For this purpose, three homogeneous hydrological drought zones were established based on the threshold level and cluster analysis. The base flow index was then calculated on a daily scale using daily discharge data from ten hydrometric stations within these homogeneous zones. The results showed that the regional average of the annual base flow index is 0.38, with a standard deviation of 0.193 over the long-term statistical period, and that the range of the base flow index is 0.12–0.29. Based on the 70th, 80th, and 90th percentiles, the river flow regime was divided into four classes, revealing that 100% of the watershed sub-basins in the study area exhibited an unstable regime. Additionally, the results of drought zoning indicated that hydrological drought occurred at a threshold level of 70 in the southeast of the region near the Dehroud hydrometric station, and at levels of 80 and 90 in the northwest near the Baft and Cheshme-Arus stations. The findings of this research can be utilized for assessing underground water supply, managing water supply systems, irrigation management, monitoring hydrological drought, and developing regional models for estimating water resource reserves in areas lacking statistical data.

---

**Cite this article:** Daemi, M., Keshtkar, A.R., Bazgeer, S., Afzali, A., Kavoosi, O (2024). Regional analysis of hydrological drought of Halil-Rood Watershed using base flow index. *Journal of Range & Watershed Management*, 77 (4), 403-418. DOI: <http://doi.org/10.22059/jrwm.2024.371670.1745>



© The Author(s).

Publisher: University of Tehran Press

## تحلیل منطقه‌ای خشک‌سالی هیدرولوژیک حوزه آبخیز هلیل‌رود با استفاده از شاخص جریان پایه

مریم دائمی<sup>۱</sup> | امیر رضا کشتکار<sup>۱\*</sup> | سعید بازگیر<sup>۲</sup> | علی افضلی<sup>۳</sup> | امید کاووسی<sup>۴</sup>

۱. مرکز تحقیقات بین المللی بیابان، دانشکدگان کشاورزی و منابع طبیعی، دانشگاه تهران، کرج، ایران

۲. گروه جغرافیای طبیعی، دانشکده جغرافی، دانشگاه تهران، تهران، ایران

۳. معاونت پژوهش و فناوری دانشگاه تهران، تهران، ایران

۴. اداره کل مدیریت بحراں، استانداری البرز، کرج، ایران

ایمیل: keshtkar@ut.ac.ir

رايانامه:

### چکیده

### اطلاعات مقاله

#### نوع مقاله:

مقاله پژوهشی

تاریخ دریافت: ۱۴۰۲/۱۱/۰۵

تاریخ بازنگری: ۱۴۰۲/۱۲/۲۵

تاریخ پذیرش: ۱۴۰۳/۰۱/۲۶

تاریخ انتشار: ۱۴۰۳/۱۰/۰۱

وقوع خشک‌سالی به عنوان یکی از پدیده‌های محیطی و بخش جدایی‌ناپذیری از تغییرات اقلیمی و مخاطرات طبیعی است که می‌تواند در هر سرزمینی رخ دهد. خشک‌سالی هیدرولوژیک به منظور نمایش کاهش جریان‌های سطحی و افت سطح مخازن آب زیرزمینی، دریاچه‌ها و رودخانه‌ها به کار می‌رود. تحقیق حاضر به منظور تعیین مقادیر شاخص جریان پایه و بررسی کارایی آن در تعیین نوع رژیم جریان و تحلیل منطقه‌ای خشک‌سالی هیدرولوژیک در حوزه آبخیز هلیل‌رود انجام شده است. بدین منظور ابتدا سه منطقه همگن خشک‌سالی هیدرولوژیک بر پایه سطح آستانه و تحلیل خوش‌های تعیین و سپس شاخص جریان پایه در مقیاس روزانه با استفاده از داده‌های روزانه دبی در ۱۰ ایستگاه هیدرومتری در مناطق همگن محاسبه شد. نتایج نشان داد میانگین منطقه‌ای شاخص جریان پایه سالانه، با میزان ۰/۳۸ با مقدار انحراف معیار ۰/۱۹۳ در دوره آماری بلند مدت ثابت بوده و محدوده شاخص جریان پایه ۰/۰-۰/۱۲ می‌باشد. بر پایه صدک‌های ۷۰، ۸۰ و ۹۰ نیز رژیم جریان رودخانه به چهار طبقه تقسیم گردید که مشخص ۱۰۰ درصد زیرخواهه‌های آبخیز منطقه مطالعاتی دارای رژیم ناپایدار بودند. همچنین نتایج پنهانه‌بندی خشک‌سالی نشان داد که در سطح آستانه ۷۰ جنوب شرقی منطقه در محدوده ایستگاه هیدرومتری دهرو و در سطوح ۸۰ و ۹۰، شمال غربی منطقه در محدوده ایستگاه‌های بافت و چشممه عروس خشک‌سالی هیدرولوژیک رخ داده است. نتایج تحقیق حاضر می‌تواند در ارزیابی تغذیه آب زیرزمینی، سیستم‌های تامین آب، مدیریت آبیاری، پایش خشک‌سالی هیدرولوژیک و ارائه مدل‌های منطقه‌ای در برآورد ذخیره منابع آب در مناطق فاقد آمار مورد استفاده قرار گیرد.

#### کلیدواژه‌ها:

رژیم جریان، روش سطح آستانه، تحلیل خوش‌های، پنهانه‌بندی.

استناد: دائمی؛ مریم، کشتکار؛ امیر رضا، بازگیر؛ سعید، افضلی؛ علی، کاووسی؛ امید (۱۴۰۳). تحلیل منطقه‌ای خشک‌سالی هیدرولوژیک حوزه آبخیز هلیل‌رود با استفاده از شاخص جریان پایه. نشریه مرتع و آبخیزداری، ۷۷(۴)، ۴۱۸-۴۰۳.

DOI: <http://doi.org/10.22059/jrwm.2024.371670.1745>



© نویسنده‌گان

ناشر: انتشارات دانشگاه تهران.

## ۱. مقدمه

خشکسالی به عنوان پدیده‌ای خاموش جز طبیعی هر اقلیمی محسوب می‌شود که ناشی از کاهش مقدار بارش در یک دوره نسبتاً طولانی مدت نسبت به میانگین نرمال منطقه است (جهانگیر و همکاران، ۱۳۹۴). خشکسالی هیدرولوژیکی، به عنوان یک پدیده شاخص طبیعی در زمینه تغییرات اقلیمی خشکی‌های زمین، گسترش یافته و متعاقب توسعه خشکسالی‌های هواشناسی و کشاورزی رخ می‌دهد؛ این نوع مرحله نهایی و شدید خشکسالی است (هی<sup>۱</sup> و همکاران، ۲۰۱۸). پایش خشکسالی از عوامل مهم و کلیدی در مدیریت آن، به ویژه در مناطق مستعد و در معرض خطر این پدیده است (یانگ<sup>۲</sup> و همکاران، ۲۰۲۱).

در همین راستا تعیین شاخص‌های مناسب جهت پایش خشکسالی، یکی از اقدامات مهم و اساسی در مطالعه، ارزیابی، برنامه‌ریزی و مبارزه با آن می‌باشد (باروتی و همکاران، ۱۳۹۲؛ لیو<sup>۳</sup> و همکاران، ۲۰۱۶). گرچه این پدیده با کاهش میزان بارندگی شروع، اما در نهایت به خشکی هیدرولوژیکی تبدیل می‌شود که نشان‌دهنده کاهش دسترسی به آب در رودخانه‌ها و منابع آب زیرزمینی است (فریزهندی و همکاران، ۱۳۹۷). بنابراین تجزیه و تحلیل علمی خشکسالی هیدرولوژیکی یکی از ضروریات اصلی برای توسعه یک برنامه مدیریت مؤثر می‌باشد (ون‌لوون و ون‌لوون<sup>۴</sup>، ۲۰۱۲).

نصرتی و همکاران (۱۳۹۱)، در حوزه آبخیز سفیدرود به تحلیل منطقه‌ای خشکسالی هیدرولوژیک با بهره‌گیری از شاخص جریان پایه پرداختند و دریافتند که بیش از ۵۰ درصد حوزه‌های آبخیز منطقه مورد مطالعه دارای رژیم کمپایدار و نایپایدار بودند. تیموری (۱۳۹۳)، با ارزیابی روش‌های تفکیک دبی پایه بر اساس آنالیز شاخه خشکیدگی در آذربایجان غربی بیان نمود که روش فیلتر دیجیتالی با پارامتر ۰/۹۳ دقیق‌ترین روش تفکیک دبی پایه بوده است. کاظم‌زاده و همکاران (۱۳۹۴) به بررسی جریان آب سطحی شش ایستگاه هیدرومتری طی سه دهه گذشته در ایلام پرداختند. نتایج آنها نشان داد که روند دبی رودخانه‌ها در همه ایستگاه‌ها کاهشی بوده است. نتایج بررسی کریمی و همکاران (۱۳۹۵) در حوزه آبخیز قره‌سو نشان داد خشکسالی هیدرولوژیک با تأخیر زمانی یک تا دو ساله نسبت به خشکسالی هواشناسی رخ داده است. فرسادنیا و همکاران (۱۳۹۷) در بررسی خشکسالی نتایج در حوضه کرخه نشان داد که شدت و مدت خشکسالی برای تمامی ایستگاه‌های هیدرومتری از توزیع تابع کوپلا خانواده گامبل پیروی می‌کنند و این موضوع می‌تواند در توسعه مدل‌های منطقه‌ای توابع کوپلا استفاده شود. مصباح‌زاده و سلیمانی‌ساردو (۱۳۹۷) در پژوهشی به بررسی روند خشکسالی هیدرولوژیک در حوزه آبخیز کرخه پرداختند، نتایج نشان داد رابطه زمانی وقوع خشکسالی هواشناسی و هیدرولوژیکی با یکدیگر در سطح ۹۹ درصد معنی دار است و این همبستگی در بازه ۴۸ ماهه حداکثر است.

یاراحمدی و رستمی‌زاده (۱۳۹۸) در پژوهشی به بررسی خشکسالی هیدرولوژیک در شمال دریاچه ارومیه پرداختند. نتایج نشان داد در مجموع ۹۱ دوره خشکی هیدرولوژیکی در این رودخانه رخ داده که بیش از ۶۰ درصد آن دارای تداومی بیشتر از ۲۰۰ روز بودند. تحلیل خشکسالی هیدرولوژیک رودخانه ارمند در بازه زمانی ۱۳۹۲–۱۳۹۶ توسط قربانی و همکاران (۱۳۹۸) نشان داد که شدت خشکسالی با توجه به افزایش حجم کمبود جریان طی سال‌های اخیر افزایش یافته است و در صورت ادامه این روند، در آینده شدت و فراوانی وقوع خشکسالی بیشتر و جریان کلی رودخانه کاهش خواهد یافت. جهانگیر و همکاران (۱۳۹۸) با ارزیابی خشکسالی در استان کرمانشاه، دریافتند که روند خشکسالی هیدرولوژیک در بازه انتخابی مورد مطالعه در مناطق مختلف استان با گذشت زمان در حال افزایش است. جان‌بزرگی و همکاران (۱۴۰۰) با استفاده از شاخص خشکی جریان رودخانه‌ای (SDI) خشکسالی را برای استان گیلان در مقیاس سالانه و دوره‌های سه، شش، نه و ۱۲ ماهه محاسبه کردند. نتایج نشان داد که از سال ۱۳۹۱ تا ۱۳۹۶ خشکسالی با بیشترین درصد احتمالات

<sup>1</sup> He

<sup>2</sup> Yang

<sup>3</sup> Liu

<sup>4</sup> Van Loon & Van Lanen

در مساحت تغییرات مکانی که به صورت مثبت است مشاهده شده است. رضویزاده و درگاهیان (۱۴۰۰)، به بررسی تغییرات زمانی و مکانی خشکسالی هواشناسی و هیدرولوژیک در سطح حوزه آبخیز زهره-جراحی و در بازه زمانی ۵ دهه پرداختند. نتایج مطالعه بیانگر این مطلب بود که روند تغییرات مکانی خشکسالی هواشناسی و هیدرولوژیک نشان داد که از شرق به غرب و پایین دشت حوضه، غالباً تغییرات به سمت تشدید خشکسالی بوده است. عباسی‌نیا و همکاران (۱۴۰۰)، به منظور آگاهی از وضعیت خشکسالی آب‌های زیرزمینی دشت مهران ایلام از شاخص GRI استفاده نمودند. نتایج تحقیق نشان داد که خشکسالی دشت مهران از سال ۱۳۷۵ تا سال ۱۳۸۸ با یک نوسان شدید، نزدیک نرمال بوده و از سال ۱۳۸۸ تا ۱۳۹۷ دچار خشکی ملایم شده است.

لacroos<sup>۱</sup> و همکاران (۲۰۱۲)، با تجزیه و تحلیل تغییرپذیری زمانی و مکانی خشکسالی هیدرولوژیک در منطقه پنیسولا اسپانیا، در بازه زمانی ۱۹۴۵ تا ۲۰۰۵ نشان داد که در بیشتر نواحی شدت خشکسالی دارای روندی افزایشی بوده است. یافته‌های پژوهش وادا و همکاران (۲۰۱۳) در بررسی خشکسالی هیدرولوژیکی در دنیا نشان داد که مصرف آب یکی از مکانیسم‌های مهم‌تر تشدید خشکسالی هیدرولوژیکی است و به عنوان یک عامل اصلی تأثیرگذار بر شدت و فراوانی خشکسالی در دهه‌های آینده باقی خواهد ماند. اوزکایا و زربگ<sup>۲</sup> (۲۰۱۹) نتایج بررسی خشکسالی هیدرولوژیکی حوضه دجله ترکیه نشان داد که مناطق در عرض‌های جغرافیایی پایین‌تر نسبت به مناطق در عرض‌های جغرافیایی بالاتر خشکسالی را زودتر تجربه کردند. سوتانتو و لانن<sup>۳</sup> (۲۰۲۰) در پژوهشی در اروپا نشان دادند که متغیر آب زیرزمینی نسبت به رواناب سطحی در بررسی خشکسالی‌های شدید بهتر عمل می‌کند. نتایج اودنگ<sup>۴</sup> و همکاران (۲۰۲۳) در بررسی خشکسالی هیدرولوژیکی در آفریقا نشان داد که شاخص بارش استاندار شده به همراه دو فاکتور جریان سطحی و رطوبت خاک در بررسی روند خشکسالی هیدرولوژیکی موثر است.

از آنجا که کاهش پیامدهای وقوع پدیده خشکسالی نیازمند پیش‌بینی و برنامه‌ریزی می‌باشد، لذا داشتن شناخت کافی از دوره‌های خشکسالی هیدرولوژیک به خصوص در مناطق خشک لازم و ضروری است. ادبیات تحقیق بیاگر این مطلب بود که پژوهش‌های انجام شده در زمینه خشکسالی‌های هیدرولوژیکی در ایران در مقایسه با خشکسالی‌های هواشناسی، بسیار کمتر بوده و عدمه پژوهش‌های انجام گرفته نیز خشکسالی‌های هیدرولوژیکی را در بازه زمانی ماهانه و سالانه مدنظر قرار داده‌اند. در همین راستا، پژوهش حاضر علاوه بر بررسی خشکسالی‌های هیدرولوژیک در مقیاس زمانی روزانه با اهداف شناسایی و پایش خشکسالی‌های هیدرولوژیکی، به پهنه‌بندی و تعیین فراوانی وقوع و شدت آن در منطقه مورد مطالعه پرداخته است.

## ۲. مواد و روش‌ها

### ۲-۱. منطقه مطالعاتی

حوزه آبخیز هلیل رود در جنوب شرق ایران و در استان کرمان و در فاصله در حدود ۱۰۰ کیلومتری از شهر کرمان قرار گرفته و یکی از زیر حوزه‌های اصلی حوزه آبخیز جازموریان و از قطب‌های مهم کشاورزی استان و کشور می‌باشد. مساحت حوزه آبخیز این رودخانه تا محل دشت رودبار بالغ بر ۱۸۸۳۲ کیلومتر مربع و بالاترین ارتفاع این حوضه حدود ۴۰۰۰ متر و کمترین آن در منتهی‌الیه دشت رودبار، حدود ۴۲۰ متر از سطح دریا ارتفاع دارد. از مجموع کل مساحت حوضه، ۱۲۵۳۷ کیلومتر مربع، آبخیزهای کوهستانی و ۶۲۹۵ کیلومتر مربع دشت‌های جیرفت، رودبار و کهنوج را شامل می‌گردد (رستمی، ۱۳۸۲). جهت جریان این سیستم‌ها عموماً از شمال و شمال غربی حوضه به طرف مرکز دشت بوده که در نهایت پس از پراکنده شدن در پهنه دشت رودبار به صورت مخروط افکنه‌ای به نام هلیل رود از طریق شمال غربی به تالاب جازموریان می‌ریزد. رودخانه هلیل رود در ارتفاعات از آبراهه‌های زیادی سرچشم‌گرفته و پس از الحاق شاخه‌های سلطانی،

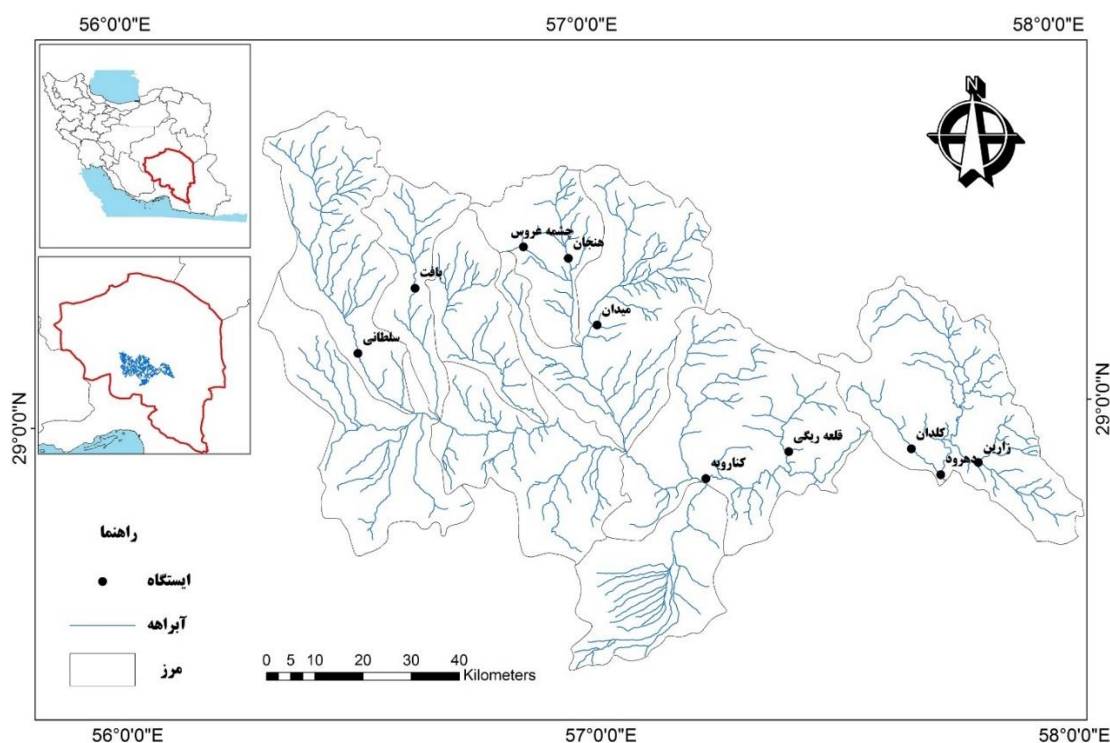
<sup>1</sup> Lacruz

<sup>2</sup> Ozkaya & Zerberg

<sup>3</sup> Sutanto & Lanen

<sup>4</sup> Odongo

بافت، رابر، سید مرتضی، رودر و رودخانه شور در شمال سبزواران و چند مسیل دیگر وارد دشت رودبار شده و از آنجا به داخل هامون جازموریان تخلیه می‌شود. بر روی مسیر آبی از سرشاخه‌ها تا محل خروجی حوضه، چندین ایستگاه هیدرومتری احداث شده است که از مهمترین آنها می‌توان به ایستگاه‌های سلطانی، بافت، هنجان، میدان، کنارویه و چشمۀ عروس اشاره کرد (نوری، ۱۳۸۶). حوزه آبخیز هلیل رود دارای تنوع آب و هوایی زیادی بوده به نحوی که در ارتفاعات آن اقلیم سرد و خشک و در مناطق دشتی، اقلیم گرم و خشک دیده می‌شود. به طور کلی با توجه به آمار و نقشه‌های موجود حوزه آبخیز هلیل رود کم باران ارزیابی شده، ولی در ارتفاعات و سرآب رودخانه، بارش از مرز ۴۰۰ میلی متر در سال فراتر رفته و پوشش برفی نیز دیده می‌شود. نزولات جوی در قسمت اعظم سطح حوضه به استثنای خطالراس‌های شمالی و شمال غربی شامل ارتفاعات جبال بارز و لامزار که برف گیر هستند، در بقیه قسمت‌ها به صورت رگبارهای فصلی و از نوع لحظه‌ای و موسمی‌اند (رستمی، ۱۳۸۲). همچنین متوسط درجه حرارت سالیانه در حدود ۱۴ درجه سانتی‌گراد گزارش شده است. موقعیت منطقه مطالعاتی در کشور و نیز ایستگاه‌های هیدرومتری موجود در حوزه آبخیز هلیل رود در شکل ۱ نشان داده است.



شکل ۱. موقعیت محدوده مطالعاتی حوزه آبخیز هلیل رود در استان و کشور

## ۲-۲. روش تحقیق

تحقیق حاضر با هدف ارزیابی منطقه‌ای خشکسالی هیدرولوژیک با استفاده از شاخص جریان پایه در حوزه آبخیز هلیل رود انجام شد. در این تحقیق به منظور ارزیابی خشکسالی هیدرولوژیک آمار دبی ایستگاه‌های هیدرومتری موجود در این حوضه استفاده و خشکسالی هیدرولوژیک در منطقه مطالعاتی بررسی گردید.

بر اساس آمار دریافت شده از ۱۸ ایستگاه هیدرومتری موجود در حوزه آبخیز هلیل رود از وزارت نیرو (جدول ۱)، تعداد ۱۰ ایستگاه با دوره آماری مشترک ۲۰ ساله برای انجام این پژوهش انتخاب گردیدند که مشخصات ایستگاه‌های منتخب در جدول یک ارایه شده است. در تحقیق حاضر سال آبی ۱۳۹۶-۱۳۷۶ تا سال آبی ۱۳۹۵-۱۳۷۷ به عنوان پایه زمانی مشترک برای بررسی‌های بعدی انتخاب گردید.

جدول ۱. مشخصات ایستگاه‌های منتخب در بررسی خشک‌سالی هیدرولوژیک در حوزه آبخیز هلیل رود

نام ایستگاه	نام رویدانه	کد ایستگاه	طول جغرافیایی	عرض جغرافیایی	ارتفاع
پل بافت	بافت	۰۰۱-۴۴	۳۲-۳۷-۵۶	۰۸-۱۴-۲۹	۲۲۰
بافت سلطانی	سلطانی	۰۰۳-۴۴	۰۰-۳۲-۵۶	۰۰-۰۵-۲۹	۲۰۷۰
دهرود	شور جیرفت	۰۰۹-۴۴	۰۶-۴۵-۵۷	۴۹-۵۱-۲۸	۱۰۲۰
کلدان	دلفارد	۰۲۷-۴۴	۴۵-۴۰-۵۷	۵۶-۵۵-۲۸	۱۴۳۳
زارین	سندر	۰۲۹-۴۴	۳۳-۴۷-۵۷	۳۲-۵۴-۲۸	۱۳۳۶
هنجان	رودر	۰۵۳-۴۴	۵۶-۳۸-۵۷	۵۶-۱۵-۲۹	۲۱۵۰
چشمۀ عروس	رابر	۱۰۵-۴۴	۱۱-۵۲-۵۶	۴۳-۱۸-۲۹	۲۴۶
قلعه ریگی	رمون	۱۰۷-۴۴	۴۷-۲۴-۵۷	۵۹-۵۵-۲۸	۱۳۸۰
میدان	سید مرتضی	۱۱۱-۴۴	۱۲-۰۰-۵۷	۰۰-۱۰-۲۹	۱۹۱۰
کنارویه	هلیل رود	۱۱۵-۴۴	۴۲-۱۴-۵۷	۴۴-۵۲-۲۸	۱۴۱۰

در این پژوهش سطوح آستانه مناسب جهت بررسی خشک‌سالی هیدرولوژیک با استفاده از منحنی تداوم جریان که نشان دهنده رابطه بین دبی‌های ماهانه و احتمال وقوع آن‌ها می‌باشد، انتخاب گردید. بر این اساس، سطوح آستانه ۷۰، ۸۰ و ۹۰ به عنوان مبنای برای استخراج دوره‌های خشک‌سالی هیدرولوژیک در هر سال به صورت جداگانه لحاظ و محاسبه گردیدند. از آنجایی که ممکن است در مناطق خشک و نیمه‌خشک، درصد بیشتری از داده‌های با مقادیر صفر در داده‌های دبی روزانه مشاهده شود، در نظر گرفتن سطوح آستانه کمتر مانند ۵۰ و ۶۰، ممکن است موجب محاسبه سطح آستانه با مقادیر صفر شود، بنابراین سطح آستانه مورد مطالعه با ویژگی‌های منطقه مطالعه برابری می‌کند.

مناطق همگن خشک‌سالی نیز بر پایه سری‌های خشک‌سالی حاصل از شاخص کمبود با استفاده از تحلیل خوش‌های تعیین شد. به منظور خوش‌بندی سلسله مراتبی از الگوریتم روش وارد<sup>۱</sup> استفاده شد که به عنوان روشی مناسب مورد توجه قرار گرفته است (بورو<sup>۲</sup> و همکاران، ۲۰۰۴). در نهایت منطقه مطالعاتی به سه منطقه همگن (بر اساس سطح آستانه ۷۰، ۸۰ و ۹۰) تقسیم شد.

## ۱-۲-۲. شاخص جریان پایه

به منظور محاسبه شاخص جریان پایه ابتدا مقدار حداقل دبی در ماه به عنوان نقطه عطف یا بازگشت مشخص و سپس نمودار نقاط عطف از طریق درون‌بابی خطی (بین نقاط عطف) ترسیم شد تا مقدار جریان پایه ماهانه مشخص شود. در مرحله بعد حجم آب جریان پایه (سطح زیر منحنی جریان پایه) و حجم کل آب (سطح زیر منحنی هیدرولوگراف) بر پایه مقیاس زمانی سالانه محاسبه و بر پایه روابط ۱ و ۲ شاخص جریان پایه و میانگین سالانه آن در هر یک از ایستگاه‌ها محاسبه شد (گوستارد<sup>۳</sup> و همکاران، ۱۹۹۲؛ تالاکسن و لنن<sup>۴</sup>؛ ۲۰۰۴).

$$BFI = \frac{\sum_i b_i}{\sum_i d_i} \quad (رابطه ۱)$$

که  $BFI$  شاخص جریان پایه،  $b_i$  مقادیر جریان پایه و  $d_i$  مقادیر کل جریان برای کل سری داده در مقیاس زمانی مورد نظر می‌باشد.

$$MBFI = \frac{\sum a BFI_a}{n} \quad (رابطه ۲)$$

میانگین سالانه شاخص جریان پایه،  $BFI_a$  شاخص جریان پایه سالانه،  $a$  نشان‌دهنده سال و  $n$  تعداد کل سال می‌باشد.

<sup>1</sup> Ward

<sup>2</sup> Bower

<sup>3</sup> Gustard

<sup>4</sup> Tallaksen and Lanen

فراوانی میانگین سالانه شاخص جریان پایه در دوره آماری بلند مدت در ایستگاه‌های مورد مطالعه محاسبه و منطقه مطالعاتی بر پایه رژیم جریان رودخانه به چهار دسته تقسیم بندی شد (جدول ۲).

**جدول ۲.** طبقه‌بندی و دامنه تغییرات شاخص جریان پایه

ناماد	توصیف وضعیت حوزه آبخیز	طبقات شاخص
EP	نفوذپذیر (تراوا) با رژیم جریان پایدار	۰/۷۹ بیشتر از
SP	نیمه نفوذپذیر (نیمه تراوا) با رژیم شبه پایدار	۰/۷۸ تا ۰/۷۴
MP	نفوذپذیر کم (کم تراوا) با رژیم کم پایدار	۰/۷۳ تا ۰/۵۴
IP	غیر قابل نفوذ (نانتراوا) با رژیم جریان زودگذر	۰/۵۳ کمتر از

درون‌یابی یکی از مهم‌ترین روش‌هایی می‌باشد که اقلیم شناسان در مطالعات پهنه‌بندی از آن استفاده می‌کنند. بدین منظور برای تعیین الگوی توزیع مکانی کمبود حجم جریان از روش درون‌یابی استفاده شد. روش‌های مختلفی برای درون‌یابی وجود دارد. در تحقیق حاضر از چهار روش‌های کریجینگ (Indicator Universal و Simple ordinary) و کوکریجینگ استفاده شد.

برای انتخاب بهترین درون‌یابی از روش ارزیابی متقابل استفاده شد. برای این کار از شاخص‌های میانگین خطای مطلق<sup>۱</sup>، میانگین خطای اریب یا انحراف<sup>۲</sup> و ریشه دوم میانگین مربع خطای<sup>۳</sup> استفاده شد. معادله‌های مربوط به محاسبه آنها به ترتیب در رابطه‌های ۳، ۴ و ۵ نشان داده شده است.

$$MAE = \frac{\sum_{i=1}^n |z^*(x_i) - z(x_i)|}{n} \quad (رابطه ۳)$$

$$MBE = \frac{\sum_{i=1}^n (z^*(x_i) - z(x_i))}{n} \quad (رابطه ۴)$$

$$RMSE = \sqrt{\frac{\sum_{i=1}^n [z^*(x_i) - z(x_i)]^2}{n}} \quad (رابطه ۵)$$

که در آن‌ها  $n$  = تعداد نقاط مشاهده‌ای،  $(x_i)$  = مقدار برآورده بر نقطه نام و  $Z^*(x_i)$  = مقدار مشاهده‌ای برای نقطه نام

### ۳. نتایج و بحث

#### ۳-۱. میانگین سالانه شاخص جریان پایه

سری‌های زمانی جریان پایه به عنوان معیاری مناسب در تعیین رفتار دینامیک منابع آب‌های زیرزمینی شناخته شده است. دامنه نوسانات کلی این شاخص بین صفر و یک بوده و چنانچه شاخص به عدد یک نزدیک‌تر باشد، جریان، پایدار و حوضه، نفوذپذیرتر خواهد بود. نتایج نشان داد محدوده شاخص جریان پایه در منطقه مطالعاتی صفر تا ۰/۸۹ بوده (جدول ۳) و انحراف معیار شاخص جریان پایه ۰/۲۹ – ۰/۱۵ بوده است (جدول ۴). بنابر رابطه ۱ و ۲ شاخص جریان پایه و میانگین سالانه شاخص جریان پایه در ایستگاه‌های منطقه در جدول ۳ نشان داده شده است. بنابراین مشاهده شد که کمترین و بیشترین میزان میانگین سالانه شاخص جریان پایه به ترتیب متعلق به ایستگاه دهرود و چشم‌هه عروس بوده است.

<sup>1</sup> Mean Absolute Error (MAE)

<sup>2</sup> Mean Bias Error (MBE)

<sup>3</sup> Root Mean Square Error (RMSE)

جدول ۳. شاخص جریان پایه در هر سال و میانگین ۲۰ ساله شاخص جریان پایه در ایستگاه‌های منطقه مطالعاتی

کنارویه	میدان	قله ریگی	چشمہ عروس	هنجان	زارین	کلدان	دهرود	سلطانی	بافت	ایستگاه	
										سال آبی	سال آبی
۰/۴۳	۰/۴۰	۰/۵۳	۰/۲۸	۰/۲۳	۰/۷۹	۰/۵۹	۰/۵۸	۰/۳۱	۰/۴۳	۷۶	
۰/۳۲	۰/۲۷	۰/۱۶	۰/۴۰	۰/۲۴	۰/۳۶	۰/۲۰	۰/۱۲	۰/۳۸	۰/۳۲	۷۷	
۰/۴۲	۰/۳۴	۰/۲۷	۰/۴۶	۰/۱۵	۰/۵۳	۰/۳۶	۰/۳۵	۰/۳۲	۰/۴۲	۷۸	
۰/۵۳	۰/۷۱	۰/۶۸	۰/۸۳	۰/۵۵	۰/۳۹	۰/۲۷	۰/۲۸	۰/۴۹	۰/۷۳	۷۹	
۰/۴۲	۰/۵۶	۰/۳۹	۰/۶۲	۰/۱۷	۰/۲۷	۰/۵۵	۰/۴۳	۰/۴۲	۰/۴۹	۸۰	
۰/۳۹	۰/۳۸	۰/۳۷	۰/۵۱	۰/۲۳	۰/۲۶	۰/۴۵	۰/۳۲	۰/۰۷	۰/۰۶	۸۱	
۰/۴۷	۰/۴۰	۰/۴۸	۰/۷۰	۰/۳۱	۰/۵۶	۰/۵۰	۰/۳۹	۰/۴۹	۰/۴۱	۸۲	
۰/۳۳	۰/۳۵	۰/۷۶	۰/۸۶	۰/۷۳	۰/۲۹	۰/۳۸	۰/۵۴	۰/۸۶	۰/۷۹	۸۳	
۰/۲۶	۰/۲۷	۰/۳۴	۰/۵۵	۰/۷۷	۰/۵۰	۰/۵۸	۰/۲۲	۰/۱۵	۰/۱۰	۸۴	
۰/۰۹	۰/۱۹	۰/۳۹	۰/۳۴	۰/۲۸	۰/۳۰	۰/۴۶	۰/۲۳	۰/۳۰	۰/۲۲	۸۵	
۰/۲۲	۰/۲۳	۰/۴۲	۰/۳۲	۰/۸۸	۰/۲۹	۰/۲۹	۰/۱۸	۰/۴۹	۰/۳۰	۸۶	
۰/۵۰	۰/۴۴	۰/۵۹	۰/۵۰	۰/۳۸	۰/۳۷	۰/۴۱	۰/۱۵	۰/۴۴	۰/۴۶	۸۷	
۰/۴۹	۰/۷۱	۰/۷۷	۰/۸۷	۰/۸۷	۰/۱۶	۰/۲۰	۰/۳۴	۰/۱۵	۰/۶۱	۸۸	
۰/۳۰	۰/۵۸	۰/۶۷	۰/۷۳	۰/۷۷	۰/۰۹	۰/۱۹	۰/۲۴	۰/۲۹	۰/۵۰	۸۹	
۰/۵۸	۰/۳۴	۰/۵۸	۰/۴۶	۰/۰۰	۰/۲۰	۰/۳۹	۰/۵۸	۰/۵۲	۰/۵۵	۹۰	
۰/۲۰	۰/۲۰	۰/۰۶	۰/۳۴	۰/۳۷	۰/۱۱	۰/۰۱	۰/۰۸	۰/۲۸	۰/۰۰	۹۱	
۰/۳۱	۰/۳۵	۰/۱۸	۰/۲۸	۰/۱۲	۰/۱۵	۰/۱۵	۰/۱۸	۰/۰۲	۰/۵۴	۹۲	
۰/۲۶	۰/۳۳	۰/۶۱	۰/۲۵	۰/۵۰	۰/۲۷	۰/۱۵	۰/۲۵	۰/۰۸	۰/۰۳	۹۳	
۰/۴۳	۰/۴۰	۰/۴۲	۰/۲۶	۰/۸۹	۰/۱۵	۰/۲۱	۰/۱۸	۰/۲۳	۰/۰۰	۹۴	
۰/۳۷	۰/۳۹	۰/۴۶	۰/۵۰	۰/۴۴	۰/۳۲	۰/۳۶	۰/۳۹	۰/۳۳	۰/۳۷	میانگین شاخص جریان پایه سالانه	

جدول ۴. انحراف معیار شاخص جریان پایه

نام ایستگاه	انحراف معیار	ضریب تغییرات
بافت	۰/۲۴	۰/۶۶
سلطانی	۰/۲۰	۰/۶۲
دهرود	۰/۱۵	۰/۵۲
کلدان	۰/۱۹	۰/۵۳
زارین	۰/۱۸	۰/۵۶
هنجان	۰/۲۹	۰/۶۶
چشمہ عروس	۰/۲۱	۰/۴۲
قله ریگی	۰/۲۰	۰/۴۴
میدان	۰/۱۵	۰/۳۸
کنارویه	۰/۱۲	۰/۳۳

## ۲-۳. تقسیم بندی منطقه مطالعاتی بر پایه رژیم جریان رودخانه در منطقه

بر اساس نتایج بدست آمده مشخص گردید که ۱۰۰ درصد ایستگاه‌های منطقه مطالعاتی دارای حوزه آبخیز غیرقابل نفوذ (ناتراوا) با رژیم جریان زودگذر می‌باشند (شکل ۲). بنابراین تامین آب رودخانه در دوره‌های خشکسالی، محدود می‌باشد. البته باید توجه کرد تغییر کاربری اراضی می‌تواند با تغییر میزان نفوذپذیری سطح حوزه آبخیز، نقش بسزایی در کاهش شاخص جریان پایه داشته باشد (نصرتی، ۱۳۹۰).

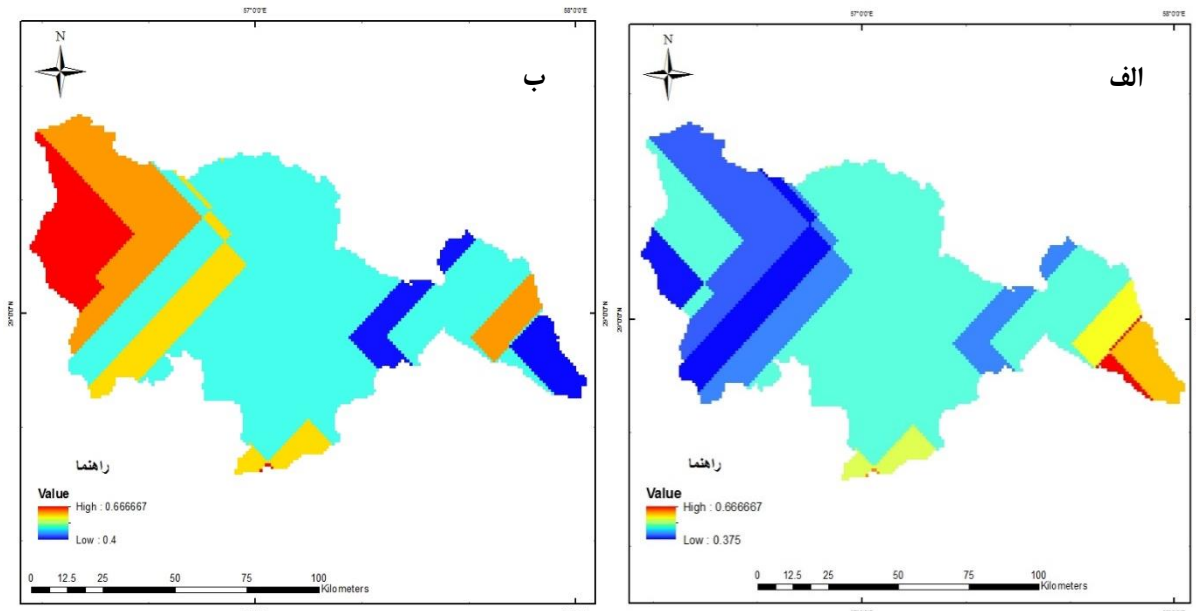


شکل ۲. فراوانی طبقات شاخص جریان پایه در منطقه مطالعاتی (نماد طبقات در جدول ۲ معرفی شده است)

### ۳-۳. پهنه‌بندی خشک‌سالی با استفاده از سطح آستانه ۷۰، ۸۰ و ۹۰ درصد

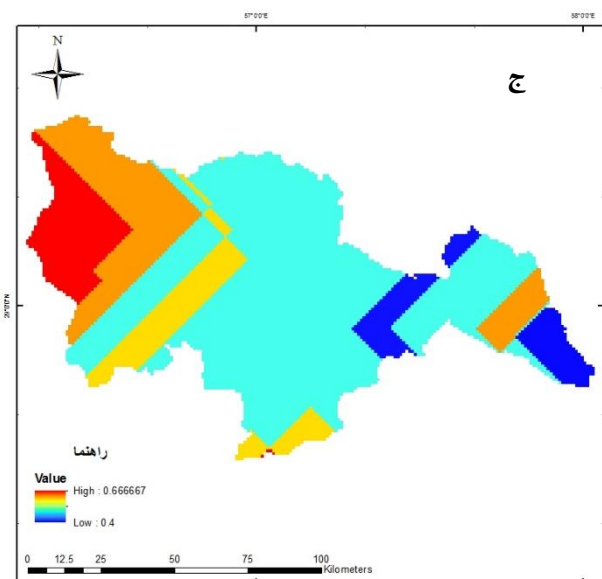
با استفاده از نرم افزار ArcGIS 10.2.1 نقشه‌های پهنه‌بندی با روشهای کریجینگ، کو کریجینگ، تخمین موضعی و معکوس فاصله وزنی تهیه گردید. که بهترین روش بر اساس کمترین خطای روش کریجینگ، ایندیکتور<sup>۱</sup> بود. در ادامه پهنه‌بندی بر اساس سطح آستانه ۷۰، ۸۰ و ۹۰ در حوزه آبخیز هلیل رود نشان داده شده است (شکل ۳).

با توجه به اینکه محدوده مطالعاتی در منطقه خشک قرار دارد، لذا بررسی سطوح آستانه بالا کاملاً قابل توجیه است زیرا با بالاتر رفتن سطح آستانه از ۷۰ به ۸۰، احتمال عدم بررسی خشک‌سالی و ایجاد موقعیت‌های اضطراری کمتر می‌شود.



شکل ۳. پهنه‌بندی به روش کریجینگ، ایندیکتور، الف) با سطح آستانه ۷۰ (ب) با سطح آستانه ۸۰ (ج) با سطح آستانه ۹۰

<sup>۱</sup> Indicator



ادامه شکل ۳.

#### ۴-۴. انتخاب بهترین روش درون‌بافی در منطقه

در جداول ۵ و ۷ مقادیر MBE و RMSE به ترتیب برای سطوح آستانه ۷۰، ۸۰ و ۹۰ آورده داده شده است.

بر اساس نتایج فوق مشاهده شد که هیچ کدام از مقادیر در یک روش کمترین مقدار نبوده، بنابراین برای انتخاب بهترین روش از RMSE استفاده گردید. نتایج بررسی‌ها در سطوح آستانه ۷۰، ۸۰ و ۹۰ نیز نشان داد که در روش کریجینگ، indicator میزان خطأ وجود داشت. بنابراین این روش برای پنهان‌بندی حوزه آبخیز هلیل رود مناسب‌ترین روش تشخیص داده شد.

به منظور بررسی نقش و اثر کاربری اراضی بر پدیده خشک‌سالی هیدرولوژیک، نقشه کاربری اراضی تهیه گردید (شکل ۴).

جدول ۵. مقادیر MBE و RMSE برای سطح آستانه ۷۰

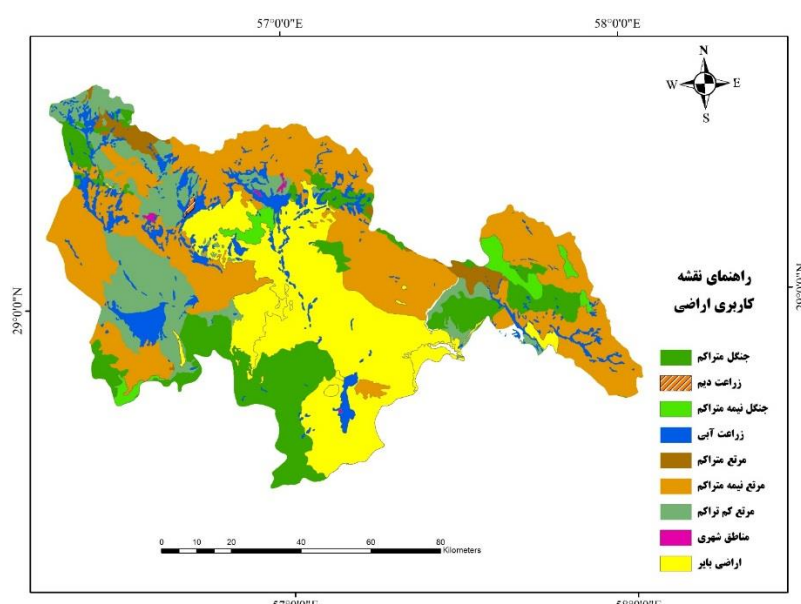
روش پنهان‌بندی	MAE	MBE	RMSE
کریجینگ-ordinary	۱/۹۳۱	-۰/۱۷۵	۲/۴۲۰
کریجینگ-simple	۱/۵۵۳	+۰/۰۴۷	۲/۰۳۶
کریجینگ-indicator	۱/۵۰۷	+۰/۰۵۷	۰/۰۵۵
کریجینگ-universal	۱/۹۳۱	-۰/۱۷۵	۲/۴۲۴
کوکریجینگ-ازنفاع	۸۷/۱۳۶	+۲/۲۶	۲/۴۸
کوکریجینگ-مساحت	۱۲۷۹/۸۶	+۳۶/۶۶	۲/۱۹
LPI	۱/۶۶۵	+۰/۲۴۵	۲/۳۴۰
IDW	۱/۹۹۹	+۰/۰۵۸	۲/۶۴۰
حدائق	۱/۵۰۷	-۰/۱۷۵	۰/۰۵۵

جدول ۶. مقادیر RMSE، MBE و MAE برای سطح آستانه ۸۰

روش پهن‌بندی	MAE	MBE	RMSE
کریجینگ-ordinary	۳/۳۰	-۰/۳۲	۴/۰۲
کریجینگ-simple	۲/۶۵	۰/۰۴	۳/۳۶
کریجینگ-indicator	۲/۷۸	۲/۷۸	۰/۰۵۷
کریجینگ-universal	۳/۳۰	-۰/۳۲	۴/۰۲
کوکریجینگ-ارتفاع	۲/۹۷	-۰/۱۵	۳/۷۱
کوکریجینگ-مساحت	۳/۰۴	-۰/۲۷	۳/۶۵
LPI	۲/۸۰	۰/۴۱	۳/۸۸
IDW	۳/۴۱	۰/۱۰	۴/۴۱
حداقل	۲/۶۵	-۰/۳۲	۰/۰۵۷

جدول ۷. مقادیر RMSE، MBE و MAE برای سطح آستانه ۹۰

روش پهن‌بندی	MAE	MBE	RMSE
کریجینگ-ordinary	۵/۶۴	-۰/۶۱	۶/۷۶
کریجینگ-simple	۴/۵۵	-۰/۰۸	۵/۶۵
کریجینگ-indicator	۵/۲۴	۵/۳۴	۰/۰۵۲
کریجینگ-universal	۵/۶۴	-۰/۶۱	۶/۷۶
کوکریجینگ-ارتفاع	۵/۰۵	-۰/۳۹	۶/۱۸۵
کوکریجینگ-مساحت	۵/۲۰	-۰/۵۱	۵/۱۶
LPI	۴/۸۹	۰/۶۵	۶/۵۷
IDW	۵/۹۳	۰/۰۸	۷/۵۳
حداقل	۴/۵۵	-۰/۶۱	۰/۰۵۲



شکل ۴. نقشه کاربری اراضی حوزه آبخیز هلیل رود

### ۳-۵. بحث

نتایج نشان داد که در حوزه آبخیز مورد مطالعه عمدۀ بارندگی‌ها در ماه‌های بهمن تا اردیبهشت رخ داده است، بنابراین نفوذپذیری می‌تواند نقش مهمی در تأمین آب پایه در ماه‌های بدون بارش سال ایفا نموده و باعث افزایش منابع آب زیرزمینی شده و دبی رودخانه را در ماه‌های بدون بارش سال تأمین کند. در منابع علمی گوناگون عوامل مختلفی در بررسی شرایط کمبود جریان مورد بررسی قرار گرفته است. در این میان اسماختین<sup>۱</sup> زمین‌شناسی را به عنوان یکی از مهم‌ترین عوامل طبیعی مؤثر بر پدیده‌ی کمبود جریان برشموده است. در واقع در شرایط کمبود جریان یکی از مهم‌ترین اجزاء، جریان پایه است که به زمین‌شناسی منطقه و بهویژه قابلیت نفوذ لایه‌های زیرین وابسته است. آب‌گذر بودن لایه‌های زیرین از دیگر عواملی است که به تنظیمه آب‌های زیرزمینی کمک کرده و در نهایت در دوره‌های بدون بارش دبی رودخانه‌ها را تأمین می‌کند.

### ۳-۵.۱. بررسی خشک‌سالی هیدرولوژیک با استفاده از اعمال حد آستانه

انتخاب سطح آستانه مناسب بستگی به هدف بررسی و ویژگی‌های جریان دارد (فلیگ و همکاران، ۲۰۰۶). در تحقیق حاضر سه حد آستانه ۷۰، ۸۰ و ۹۰ انتخاب گردید که به دلیل دقت بالاتر در حد آستانه ۹۰، این حد مینا برای بررسی‌های بعدی انتخاب گردید. زیرا در مناطق خشک و نیمه خشک انتخاب حدود آستانه کمتر ممکن است موجب محاسبه سطح آستانه صفر گردد (نصرتی و همکاران، ۱۳۸۳).

مقادیر حداکثر شدت کمبود جریان ماهانه در ماه‌های مختلف در ایستگاه‌های مختلف، متفاوت بوده است چنان‌که در ایستگاه کنارویه در طول ۲۰ سال، از بین ۱۹۰ ماه دارای کمبود جریان، بیشترین تعداد ماه دارای کمبود جریان مربوط به ماه مهر، مرداد و شهریور و با ۱۹ مورد بوده است. شدیدترین کمبود جریان اتفاق افتاده با میزان ۹۲ متر مکعب در ماه مربوط ماه‌های مهر، آبان، مرداد و شهریور بود که در ایستگاه میدان از ۱۹۱ ماه خشک، بیشترین رخداد کمبود جریان متعلق به ماه مهر، مرداد و شهریور مهر با ۱۹ مورد بوده و حداکثر شدت کمبود جریان در ماه مهر و آبان با میزان ۴۲ متر مکعب می‌باشد. در ایستگاه قلعه‌ریگی از ۱۹۰ ماه دارای کمبود جریان، ماه مهر، مرداد و شهریور با ۱۹ مورد کمبود جریان، خشک‌ترین ماه بوده و شدیدترین کمبود جریان اتفاق افتاده در ماه مهر به میزان ۸ متر مکعب در ماه بوده است. در ایستگاه چشممه‌عروس از بین ۱۹۰ ماه دارای کمبود جریان، ماه مهر، مرداد و شهریور با ۱۹ ماه دارای کمبود جریان بیشترین ماه خشک را دارا بوده و شدیدترین کمبود جریان در ماه مهر، مرداد و شهریور با میزان ۱۳ متر مکعب می‌باشد. در ایستگاه هنجان از بین ۱۹۰ ماه دارای کمبود جریان، بیشترین تعداد ماه دارای کمبود جریان مربوط به ماه مهر، آبان، مرداد و شهریور با ۱۹ مورد بوده و شدیدترین کمبود جریان اتفاق افتاده در این ایستگاه با میزان ۱۶ متر مکعب در ماه مربوط به ماه مهر می‌باشد.

در سایر ایستگاه‌ها از جمله در ایستگاه زارین از ۱۹۰ ماه کم آب، بیشترین رخداد کمبود جریان متعلق به ماه مهر، مرداد و شهریور با ۱۹ مورد بوده و حداکثر شدت کمبود جریان در ماه مهر با میزان ۱۲ متر مکعب می‌باشد. در ایستگاه کلدان از ۱۹۰ ماه دارای کمبود جریان، ماه‌های مهر، مرداد و شهریور با ۱۹ مورد کمبود جریان، خشک‌ترین ماه‌ها بوده و شدیدترین کمبود جریان اتفاق افتاده در ماه مهر به میزان ۸ متر مکعب در ماه بوده است. در ایستگاه دهرود از بین ۱۹۰ ماه دارای کمبود جریان، ماه تیر، مرداد، شهریور و مهر با ۱۹ ماه دارای کمبود جریان بیشترین ماه خشک را دارا می‌باشند و شدیدترین کمبود جریان در مهر ماه با میزان ۵۰ متر مکعب می‌باشد. در ایستگاه سلطانی از بین ۱۹۰ ماه دارای کمبود جریان، ماه مهر با ۱۹ ماه دارای کمبود جریان بیشترین ماه خشک را دارا می‌باشد و شدیدترین کمبود جریان در آبان ماه با میزان ۱۰ متر مکعب می‌باشد.

در ایستگاه بافت نیز از بین ۱۸۰ ماه دارای کمبود جریان، ماه مرداد و شهریور با ۱۹ ماه دارای کمبود جریان بیشترین ماه خشک را دارا می‌باشند و شدیدترین کمبود جریان در مهر ماه با میزان ۶ متر مکعب می‌باشد. بیشترین تعداد ماه‌های دارای کمبود جریان به ترتیب در ماه مهر مربوط به همه ۱۰ ایستگاه با ۱۹ ماه، در ماه آبان ایستگاه‌های بافت، زارین، قلعه‌ریگی، میدان و کنارویه با ۱۹ ماه، در ماه آذر ایستگاه‌های دهرود، کلدان، قلعه‌ریگی با ۱۹ ماه، در ماه دی ایستگاه چشممه‌عروس با ۱۶ ماه، در ماه بهمن ایستگاه‌های میدان و چشممه‌عروس با ۱۴ ماه،

<sup>۱</sup> Smakhtin

در ماه اسفند ایستگاه کلدان با ۱۰ ماه، در ماه فروردین ایستگاه‌های کلدان، دهرود با ۱۱ ماه، در ماه اردیبهشت ایستگاه سلطانی، دهرود با ۱۸ ماه، در ماه خرداد ایستگاه سلطانی، زارین، هنجان، چشممه‌عروس، قلعه‌ریگی، میدان و کنارویه با ۱۹ ماه، در ماه تیر ایستگاه‌های دهرود، کلدان، هنجان، قلعه‌ریگی و میدان با ۱۹ ماه، در ماه مرداد ایستگاه‌های بافت، سلطانی، دهرود، کلدان، زارین، چشممه‌عروس، قلعه‌ریگی و کنارویه با ۱۹ ماه و در ماه شهریور ایستگاه سلطانی، دهرود، زارین، هنجان، چشممه‌عروس، قلعه‌ریگی و کنارویه با ۱۹ ماه می‌باشد.

در تحقیق حاضر با تعیین شدت خشک‌سالی، تداوم و حجم کمبود جریان منطقه مطالعاتی پرداخته شد، که نتایج نشان داد بیشترین حجم کمبود در ایستگاه کنارویه به رخ داده بود. ایستگاه کنارویه به دلیل قرار گرفتن در پایین دست منطقه کشاورزی و مناطق مناسب برای جنگل کاری، مستعد پدیده خشک‌سالی بوده است، زیرا با وجود حوزه آبخیز وسیع ولی به دلیل برداشت آب در مسیر، کاهش چشمگیر خواهد یافت. همچنین هر سه سطح مبنا در محل ایستگاه هنجان دارای بیشترین تداوم خشک‌سالی بود. بررسی کاربری اراضی در محدوده این ایستگاه نیز بیانگر فقر پوشش گیاهی و در نتیجه تاثیر احتمالی آن بر کاهش نفوذپذیری، افزایش میزان رواناب سطحی و در نتیجه افزایش جریان رودخانه بوده است که با نتایج پژوهش ژو و همکاران (۲۰۱۹) و ژانگ و همکاران (۲۰۲۲) همخوانی دارد.

### ۳-۵-۲. بررسی منطقه با روش منطقه همگن

حوزه آبخیز هلیل رود به سه منطقه همگن تقسیم و سپس برای هر منطقه و هر سه سطح مبنا، دبی ویژه محاسبه گردید. نتایج بررسی ها نشان داد که در محل ایستگاه دهرود (منطقه همگن ۳) دبی ویژه در سطح آستانه ۷۰ بوده است.

جدول ۸. متوسط دبی ویژه در مناطق همگن با استفاده از سطح آستانه ۷۰

منطقه همگن	نام ایستگاه	کد ایستگاه	متوسط دبی ویژه
۱	کنارویه	۱۱۵-۴۴	۰/۰۸۳
۲	هشت ایستگاه دیگر	-	۰/۳۹۸
۳	دهرود	۰۰۹-۴۴	۰/۴۱۴

همچنین دبی ویژه در سطح آستانه ۸۰ ایستگاه دهرود و میدان (منطقه همگن ۲) بوده است.

جدول ۹. متوسط دبی ویژه در مناطق همگن با استفاده از سطح آستانه ۸۰

منطقه همگن	نام ایستگاه	کد ایستگاه	متوسط دبی ویژه
۱	کنارویه	۱۱۵-۴۴	۰/۰۸۳
۲	میدان، دهرود	۰۰۹-۴۴/ ۱۱۱-۴۴	۰/۴۱۶
۳	هفت ایستگاه دیگر	-	۰/۳۹۵

همچنین دبی ویژه در سطح آستانه ۹۰ ایستگاه دهرود و میدان (منطقه همگن ۲) بوده است.

جدول ۱۰. متوسط دبی ویژه در مناطق همگن با استفاده از سطح آستانه ۹۰

منطقه همگن	نام ایستگاه	کد ایستگاه	متوسط دبی ویژه
۱	کنارویه	۱۱۵-۴۴	۰/۰۸۳
۲	میدان، دهرود	۰۰۹-۴۴/ ۱۱۱-۴۴	۰/۴۱۶
۳	هفت ایستگاه دیگر	-	۰/۳۹۵

### ۳-۵-۳. بررسی خشکسالی هیدرولوژیک با استفاده از شاخص جریان پایه

در این پژوهش به بررسی تغییرات سطح جریان رودخانه در حوزه آبخیز هلیل رود با استفاده از شاخص جریان پایه و بررسی حجم کمبود با استفاده از سطح آستانه ۷۰، ۸۰ و ۹۰ پرداخته شد. به این منظور آمار ماهانه و روزانه دبی رودخانه هلیل رود در ده ایستگاه هیدرومتری به مدت ۲۰ سال آبی بررسی گردید.

بر اساس پژوهش‌ها، از عوامل موثر بر کمبود جریان می‌توان به زمین شناسی منطقه که بر روی قابلیت نفوذ آب به لایه‌های زیرین تاثیر گذار است اشاره کرد، زیرا در شرایط کمبود جریان یکی از مهمترین اجزاء، جریان آب پایه است، که این مسئله به زمین شناسی و قابلیت نفوذ لایه‌های زیرین وابسته می‌باشد (اسماختین، ۲۰۰۱). با توجه به اینکه تامین آب از طریق آبهای زیرزمینی و ذوب برف صورت می‌گیرد، آب گذر بودن لایه‌های زیرین از طریق تاثیر در تغذیه آبهای زیرزمینی و تامین جریان رودخانه‌ها در دوره‌های بدون بارش بر کمبود جریان تاثیر دارد. نوع کاربری اراضی نیز از سایر عوامل موثر بر کمبود جریان است. بررسی نقشه کاربری اراضی محدوده مطالعاتی نشان داد که شامل کاربری جنگل و بیشهزار ۰/۲۳٪، باغ و کشاورزی ۱/۶۵٪، محدوده خوب ۰/۷۲٪، محدوده میانه ۰/۱۸٪، محدوده فقیر ۰/۱۹٪، منطقه شهری ۰/۰۵٪ و بقیه منطقه شامل مسیل، زمین لخت، سنگ و آب بودند. بر اساس نتایج بدست آمده از بررسی داده‌های ماهانه و روزانه دبی در ده ایستگاه هیدرومتری مشخص شد که تمامی ایستگاه‌ها در منطقه نفوذ ناپذیر با رژیم جریان کم پایدار قرار داشتند، که با در نظر گرفتن کاربری و ارتفاع ایستگاهها و حوضه آن‌ها این مسئله توجیه پذیر است و با بررسی اسماختین همخوانی داشته و نشان از کمبود جریان ناشی از موقعیت زمین شناسی منطقه می‌دهد. این نتیجه گیری با تحقیق (نصرتی، ۱۳۹۱)، نیز همخوانی داشت.

نتایج پژوهش حاضر نشان داد که ایستگاه‌هایی که در مناطق با کاربری جنگل یا مرتع واقع شده‌اند متوسط تداوم کمبود جریان کمتر بوده است. پوشش درختی و عرصه‌های مرتعی به دلیل ریشه متراکم باعث افزایش آبگذری و به همین دلیل دبی پایه حتی در دوره‌های بدون بارش در رودخانه جریان داشته است. در نواحی با پوشش درختی سیستم ریشه، ماده آلی و لاشبرگ میزان نفوذ آب و ظرفیت نگهداری آب در خاک را افزایش داده است. بنابراین رولناب روی زمین کمتر، زمان رولناب طولانی‌تر و تداوم کمبود جریان در کاربری جنگل نسبت به سایر کاربری‌ها کمتر می‌باشد (بنگاس<sup>۱</sup> و همکاران، ۲۰۱۴). نتایج به دست آمده با نتایج گراندروی ۲در حوزه آبخیز والونیا بلژیک مطابقت دارد.

### ۳-۵-۴. پراکنش مکانی خشکسالی

طبق نقشه‌های پهنه‌بندی بدست آمده، مناطق حداکثر خشکسالی در مناطق شمال غربی حوضه مورد مطالعه منطبق بر ایستگاه‌های بافت با مساحت ۲۳۵ کیلومتر مربع و ۱/۹٪ از منطقه مطالعاتی، سلطانی با مساحت ۹۳۵ کیلومتر مربع و ۷/۸٪ از منطقه و چشم‌های عروس با مساحت ۱۰۰ کیلومتر مربع و ۰/۸٪ از حوضه هلیل رود را شامل شده و با نقشه کاربری اراضی بدست آمده مشخص شد که این مناطق از نظر پوشش گیاهی طبیعی جزو مناطق فقیر بوده و از نظر میزان نفوذ آب ورودی به حوضه ضعیف عمل می‌کنند. در این منطقه بیشترین خشکسالی در مناطق شمال-غربی و جنوب بوده و به سمت مرکز و شرق منطقه، از میزان شدت خشکسالی کاسته شده است که با نتایج تحقیق اسلامیان (۱۳۹۱)، هماهنگی دارد.

## ۴. نتیجه‌گیری

با توجه با نتایج تحقیق مشخص گردید که حوزه آبخیز هلیل رود با تداوم حداکثر ۱۴ ماهه خشکسالی و حداکثر خشکسالی در منطقه شمال غرب و جنوب غربی، دارای شاخص جریان پایه طولانی مدت ۰/۳۸۳ دارای ۱۰۰ درصد منطقه غیر قابل نفوذ با رژیم جریان ناپایدار

<sup>۱</sup> Benegas

<sup>۲</sup> Grandry

بوده است. ایستگاه‌های بافت، سلطانی و چشم‌عروس مستقر در محدوده‌های با پوشش گیاهی ضعیف و با نفوذ پذیری حداقل آب ورودی به حوضه و با جریان ناپایدار رودخانه، در معرض خشک‌سالی هیدرولوژیک قرار داشته و در صورت بروز این پدیده از نظر تامین آب مورد نیاز برای مناطق کشاورزی، باغی و مسکونی منطقه دچار کمبود خواهند شد. همچنین می‌توان چنین نتیجه گرفت که شاخص جریان پایه رودخانه دارایی کارآیی مطلوب برای بررسی خشک‌سالی هیدرولوژیک بوده است.

## References

- Abbasinia, A., Morshedi, J., Zohoriyan, M., & Ghorbaniyan, J. (2021). Analysis and Comparison of SPI and GRI Indices in Assessing Meteorological Drought and Groundwater, Case Study: Mehran Plain, Ilam Province. *Physical Geography Quarterly*, 14, 95-114. (In Persian)
- Baruti, H., Zulfiqari, M., & Sulaimanpour, S. (2012). Comparison of PNPI and SPI indices in monitoring and zoning the drought process in Qazvin province, 5th Iran Water Resources Management Conference, Ayaran Water Resources Science and Engineering Association. February 29-30. (In Persian)
- Benegas, L., Ilstedt, U., Rouspard, O., Jones, J., & Malmer, A. (2014). Effects of trees on infiltration and preferential flow in two contrasting agroecosystems in Central America. *Agriculture, ecosystems & environment*, 183, 185-196.
- Eskandari Damaneh, H., Zehtabian, G. R., Khosravi, H., & Azareh, A. (2016). Investigation and Analysis of Temporal and Spatial Relationship between Meteorological and Hydrological Drought in Tehran Province. *Scientific- Research Quarterly of Geographical Data (SEPEHR)*, 24(96), 113-120. (In Persian)
- Eslamian, S. S., Ghasemi, M., & Gerdefamarzi, S. S. (2012). Computation and regionalization of low flow indices and determination of hydrological drought durations in Karkhe Watershed. *JWSS-Isfahan University of Technology*, 16(59), 1-14. (In Persian)
- Farsadnia, F., Ghahreman, B., Modarres, R., & Moghaddam Nia, A. (2018). Hydrologic Drought Frequency Analysis in Karkhe Basin Based on Bivariate Statistical Analysis. *JWSS-Isfahan University of Technology*, 22(3), 339-355. (In Persian)
- Fleig, A. K., Tallaksen, L. M., Hisdal, H., & Demuth, S. (2006). A global evaluation of streamflow drought characteristics. *Hydrology and Earth System Sciences*, 10(4), 535-552.
- Ghorbani, M., Mozayyan, M., & Zarei, H. (2019). Hydrological Drought Investigation of Armand River Using Low Flows Analysis. *Journal of Water and Soil Conservation*, 26(3), 247-263. (In Persian)
- Grandry, M., Gailliez, S., Brostaux, Y., & Degré, A. (2020). Looking at trends in high flows at a local scale: The case study of Wallonia (Belgium). *Journal of Hydrology: Regional Studies*, 31, 100729.
- He, Z., Liang, H., Yang, C., Huang, F. & Zeng, X., (2018). Temporal–spatial evolution of the hydrologic drought characteristics of the karst drainage basins in South China. *International Journal of Applied Earth Observation and Geoinformation*, 64, 22-30.
- Jahangir, M. H., Babaei, S., & Norozi, E. (2019). Drought condition assessment of Kermanshah province using River flow Drought Index (SDI). *Iranian Journal of Irrigation & Drainage*, 13(1), 190-202. (In Persian)
- Jahangir, M. H., Khoshmashrabani, M., & Yousefi, H. (2015). Drought monitoring with Standard Precipitation Index (SPI) and drought forecasting with multi-layers perceptron (Case study: Tehran and Alborz Provinces). *Iranian journal of Ecohydrology*, 2(4), 417-428. (In Persian)
- Janbozorgi, M., Hanifeh Pour, M., & Khosravi, H. (2021). Temporal changes in meteorological-hydrological drought (Case study: Guilan Province). *Water and Soil Management and Modeling*, 1(2), 1-13. (In Persian)
- Karami, M., SHahedi, K., & KHosravi, K. (2016). Investigation of meteorological and Hydrological Drought using Drought Indices in Qarehsou river basin. *Journal of the Earth and Space Physics* 42(1), 159-170. (In Persian)
- Kazemzadeh, M., Noori, Z., Moghadamnia, A. R., & Malekian, A. (2016). Clustering and Analyzing of Surface Water Droughts Severity and Duration (Case Study: Ilam Province. *Journal of Watershed Management Research*, 6(12), 127-138. (In Persian)
- Liu, X., Xu, X., Yu, M., & Lu, J. (2016). Hydrological drought forecasting and assessment based on the standardized stream index in the Southwest China. *Procedia Engineering*, 154, 733-737.
- Lorenzo-Lacruz, J., Morán-Tejeda, E., Vicente-Serrano, S. M., & López-Moreno, J. I. (2013). Streamflow droughts in the Iberian Peninsula between 1945 and 2005: spatial and temporal patterns. *Hydrology and Earth System Sciences*, 17(1), 119-134.

- MesbahZadeh, T., & SoleimaniSardoo, F. (2018). Temporal trend study of hydrological and meteorological drought in Karkheh watershed. *Iranian Journal of Watershed Management Science and Engineering*, 12(40), 105-114. (In Persian)
- Mortezaei, G, lotfi, J, Khalighi Sigarodi, Sh, Saravi, M, & Nazari Samini, A. (2020). Analysis and evaluation of hydrological drought indicators in Kurdistan Province. *Watershed Engineering and Managment*, 12(2), 441-453. (In Persian)
- Nosrati, K. (2012). Regional Analysis of Hydrological Drought in Sefidrood Drainage Basin Using Base Flow Index. *Journal of Range and Watershed Management*, 65(2), 257-267. (In Persian)
- Nosrati, K., Mohseni, S. M., Eslamian, S., Sharifi, F., & Mahdavi, M. (2004). Identification of Homogenous Regions for Low Flow Frequency Analysis. *Journal of Range and Watershed Management*, 57(1), 45-58. (In Persian)
- Odongo, R. A., De Moel, H., & Van Loon, A. F. (2023). Propagation from meteorological to hydrological drought in the Horn of Africa using both standardized and threshold-based indices. *Natural Hazards and Earth System Sciences*, 23(6), 2365-2386.
- Ozkaya, A., & Zerberg, Y. (2019). A 40-year analysis of the hydrological drought index for the Tigris Basin, Turkey. *Water*, 11(4), 657.
- Razavizadeh, S., & Dargahian, F. (2021). Analysis of temporal and spatial relationship between meteorological and hydrological drought in Zohreh-Jarahi basin. *Iran Nature*, 6(5), 45-53. (In Persian)
- Smakhtin, V. U. (2001). Low flow hydrology: a review. *Journal of hydrology*, 240(3-4), 147-186.
- Soleimani Sardou, F., & Bahremand, A. (2013). Hydrological drought analysis using SDI index in Halilroud basin of Iran. *The International Journal of Environmental Resources Research*, 1(3), 279-288. (In Persian)
- Staudinger, M., Stahl, K., Seibert, J., Clark, M. P., & Tallaksen, L. M. (2011). Comparison of hydrological model structures based on recession and low flow simulations. *Hydrology and Earth System Sciences*, 15(11), 3447-3459.
- Sutanto, S. J., & Van Lanen, H. A. (2020). Hydrological drought characteristics based on groundwater and runoff across Europe. *Proceedings of the International Association of Hydrological Sciences*, 383, 281-290.
- Teimouri M. (2015) Evaluation of Base Flow Separation Methods Based on Recession Analysis. *GeoResearch*, 29 (4), 57-66. (In Persian)
- Van Loon, A. F., & Van Lanen, H. A. (2012). A process-based typology of hydrological drought. *Hydrology and Earth System Sciences*, 16(7), 1915-1946.
- Wada, Y., Van Beek, L. P., Wanders, N., & Bierkens, M. F. (2013). Human water consumption intensifies hydrological drought worldwide. *Environmental Research Letters*, 8(3), 034036.
- Xu, Y., Zhang, X., Wang, X., Hao, Z., Singh, V. P., & Hao, F. (2019). Propagation from meteorological drought to hydrological drought under the impact of human activities: A case study in northern China. *Journal of Hydrology*, 579, 124147.
- Yang, F., Yue, S., & Sheng, X. (2021). Comprehensive evaluation of hydrological drought and the effects of large reservoir on drought resistance in the Hun River basin, NE 2 China 3. *Natural Hazards and Earth System Sciences Discussions*, 1-22.
- Yarahmadi, J., & Rostamizad, G. (2019). The Analysis of the Hydrological Droughts in the Northern Part of Lake Urmia. *Hydrogeomorphology*, 6(19), 79-100. (In Persian)
- Zhang, T., Su, X., Zhang, G., Wu, H., Guanzhi W, & Jiangdong C. (2022). Evaluation of the impacts of human activities on propagation from meteorological drought to hydrological drought in the Weihe River Basin, China. *Science of the Total Environment*, 819, 153030.